

## 碎波帯内外の水面・流速波形の非対称性

九州大学工学部 学正員 ○深川 孝之 学生員 小野 信幸  
正員 武若 聰 正員 入江 功

### 1.はじめに

波形の非線形性が岸冲漂砂に大きく寄与するということはよく知られている。入江ら<sup>1)</sup>は固定床砂れん上の砂の移動が、水面波形の上下の非対称歪み率 $S_1$ と前後の非対称歪み率 $S_2$ により支配されていることを示した。また橋本ら<sup>2)</sup>はこの成果を基に、砂れん上の漂砂をモデル化し、これを用いて碎波帯外の海浜変形計算を行った。今後、この計算手法を拡張して碎波帯内の地形変形を計算するためには、碎波帯内の平均流、波形の非対称性、強い流れと共存した場での砂れん上の砂移動特性、等について知る必要がある。本研究では上述の計算手法の碎波帯内への拡張を念頭に置き、碎波帯内外の波形の非対称特性を実験的に調べる。

### 2. 実験方法および実験内容

実験は、両面ガラス張りとなっている長さ28.0m、幅0.3m、高さ0.5mの二次元造波水路の端に勾配1/20の木製の斜面を設置して行なった。一様水深部水深は0.3mに設定し、表-1に示す条件の波を入射させた。流速測定にはレーザードップラー流速計を用い、底面上0.5cmの点の水平流速成分を斜面の始点付近から碎波点までの間を波長の1/8程度の間隔で、碎波点から汀線までの間を10cm間隔で測定した。同時に同位置での表面波形を容量式波高計を用いて測定した。これらの波形データは、データレコーダに0.01sのサンプリング間隔で記録し、後に電算機処理を行い、各波形の歪み率、振幅、平均値等を求めた。

### 3. 実験結果

先に述べたように、漂砂の岸冲方向の移動を考える際には波形の非対称性が非常に重要な要素となる。ここでは図-1に示すような波の非対称を表わす諸元〔波形の上下の非対称による歪み率 $S_1=(H_c-H_b)/H$ 、前後の非対称による歪み率 $S_2=(L_f-L_r)/L$ 〕を定義し、これらの碎波帯内外の分布を調べた。各歪み率は、生波形の波動成分を位相平均して求めた波形から算出した。

図-2(a)、(b)は、碎波帯内の水面波形および流速波形の $S_1$ 、 $S_2$ の値を、Spilling型碎波の場合の全ケースについてプロットしたものである。横軸は静水汀線から測点までの距離 $X$ を汀線から碎波点までの距離 $X_b$ で割って無次元化したものである。図中の曲線は、水面波形および流速波形の $S_1$ および $S_2$ をそれぞれ2次および3次の曲線で回帰したものである。水面波形の $S_1$ の値は碎波点において0.5~0.6の値をとった後、岸に向かって減少し、汀線付近で0に近い値になる。また $S_2$ は、碎波点で0.3程度の値をとてから岸に向かって増加し、汀線付近で0.6程度に漸近している。これは汀線に近づくにつれて波形が鋸状になることに対応している。流速波形の $S_1$ 、 $S_2$ は共に水面波形と類似した分布傾向を見せるが、どちらの値も水面波形のそれに比べて全体的に小さい値となっている。

図-3(a)、(b)は、碎波帯外での水面波形および流速波形の $S_1$ 、 $S_2$ の値を、 $U_r$ 数( $=HL^2/h^3$ )、 $H$ :波高、 $L$ :波長、 $h$ :水深)を横軸にとり、Spilling型碎波の全ケースに

表-1 入射波の諸元と碎波形式

case	T	$H_o$	$H_o/L_o$	碎波形式
1	1.0	9.5	0.0609	
2	1.0	8.9	0.0571	*
3	1.0	8.8	0.0564	
4	1.0	8.7	0.0558	*
5	1.0	7.3	0.0468	*
6	1.0	7.0	0.0449	
7	0.9	4.8	0.0380	*
8	0.9	4.0	0.0317	
9	1.5	7.5	0.0214	
10	1.5	7.2	0.0205	*
11	1.7	7.6	0.0169	*
12	1.7	7.5	0.0166	Plunging
13	2.0	7.2	0.0115	*
14	2.0	7.0	0.0122	
15	2.0	3.2	0.0051	
16	2.0	3.1	0.0050	*

T:周期(s),  $H_o$ :一様水深部での波高(cm)

$H_o/L_o$ : " 波形勾配

(\*は水面波形と流速波形を同時測定、

無印は水面波形のみの測定)

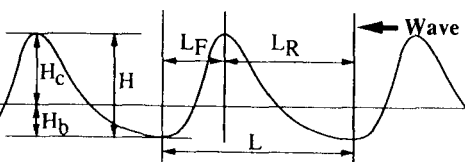


図-1 波形の非対称性

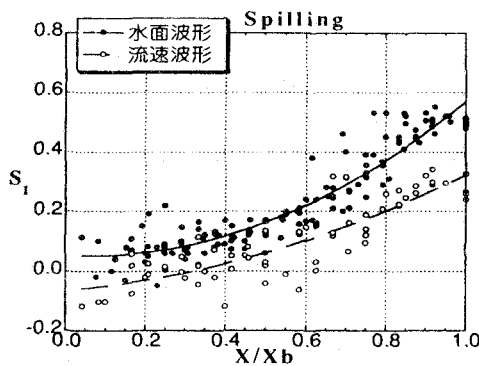
( $S_1$ :上下の非対称性,  $S_2$ :前後の非対称性)

についてプロットしたものである。図中の曲線は $S_1$ 、 $S_2$ をそれぞれ3次の曲線で回帰したものである。 $S_1$ は $U_r$ 数が約60となる地点まで増加を続け、それより岸側では碎波点に近づくにつれて徐々に0.5～0.6の値に漸近していく。各実験ケース毎に詳細に検討したところ、 $S_1$ は冲波波形勾配に応じた増加の特性を示した。 $S_2$ は $S_1$ と比較すると、かなりゆるやかに増加している。同図には、佐藤ら<sup>3)</sup>により提案された、底面流速波形を表す実験式から求めた $S_1$ 、 $S_2$ も図示した。流速波形の $S_1$ 、 $S_2$ はこれに比較的よく一致する。ただし、ここで注意しなければならないのは、佐藤らの表示式によればいかなる冲波諸元を有する波でも、 $U_r$ 数さえ一致すれば波形が相似になるという点である。このことについては今後の検討が必要である。

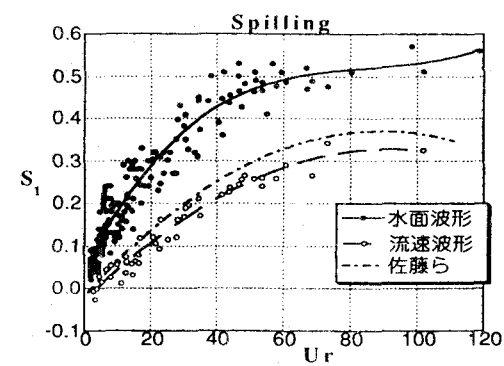
Plunging型碎波の場合について述べる。碎波帶内における水面波形の $S_1$ の分布はSpilling型の場合とはほぼ同じような傾向を示すが、 $S_2$ の値は碎波帶内で0.6～0.8のほぼ一定値をとる。碎波帶外の水面波形の $S_1$ 、 $S_2$ は、Spilling型の場合とは異なり、類似した分布傾向を示した。すなわち、両者共に冲よりの地点で急激に増加した後それぞれの一定値に漸近する。碎波帶内流速波形の $S_1$ 、 $S_2$ は、波の突っ込み点付近で大きな乱れが生じ波動場の性質が大きく変わるため、この点を境に分布が共に不連続となった。大規模渦が流速波成分に大きな影響をもたらしたと考えられる。

#### 4. おわりに

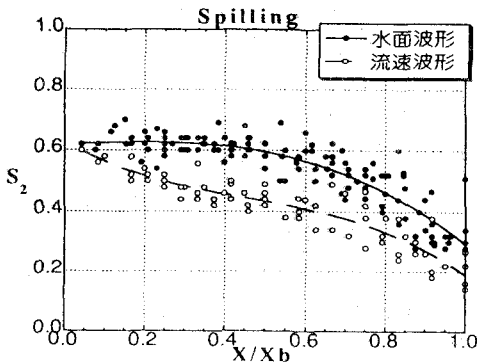
水面および流速波形の非対称性の特性を、碎波帶内外の地形変化計算に応用することを念頭に置いて調べた。碎波帶内では碎波形式により、碎波帶外では冲波波形勾配により波形の非対称特性が異なる。



(a)  $S_1$ (上下の非対称性)



(a)  $S_1$ (上下の非対称性)

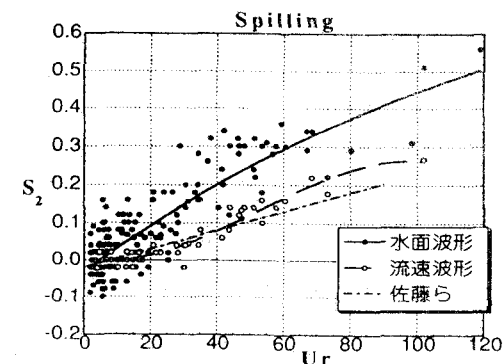


(b)  $S_2$ (前後の非対称性)

図-2(a), (b) 碎波帶内の波形の非対称性

#### 参考文献

- 1)入江 功 他(1993)：歪み砂れんマットによる沖浜帯の岸冲漂砂の制御：海岸工学論文集, 第40巻, pp. 561-565.
- 2)橋本 誠也 他(1993)：モンテカルロ法を用いた海浜変形の数値計算：海岸工学論文集, 第40巻, pp. 366-370.
- 3)佐藤 健司 他(1990)：碎波帶における底面流速変動波形の評価法：海岸工学論文集, 第37巻, pp. 51-55.



(b)  $S_1$ (前後の非対称性)

図-3(a), (b) 碎波帶外の波形の非対称性